

関東学院大学 正会員 村田清二

1. まえがき 設置された杭に水平載荷重が作用すると、杭の周辺の地盤の状態に変化が生ずる。この状態変化を調べるために、杭をつめた土槽にエポキシ樹脂製のモデルを設置して、水平載荷時の杭周辺の土の動かをある間隔に入れた水平方向のみに変化する変位計でその動きを記録した。今回行った実験では予備的なものであり、したがって水平最大荷重は杭に残留变形が生じない範囲内としている。

2. 実験装置と実験方法 図-1のような実験装置が用いられている。砂箱の内部寸法は $1m \times 0.6m \times 1m$ である。エポキシ樹脂製の外径 5cm のモデル杭をあらかじめ先端を固定して砂層に入れる。この砂層は乾いた乾燥密度 $1.63 g/cm^3$ 、間隙比 0.63 の状態の砂から出来ており、砂は砂箱の底から 95cm ほど伸びてきている。モデル杭は(外径 4cm)ストレーンゲージを上から 5cm、下から 10cm をかけてまた 5cm ごとに片側 10 枚、両側で 20 枚はりつけである。はりつけ方向は杭軸方向である。ゲージはゲージ長 5mm, 50 ± 0.1

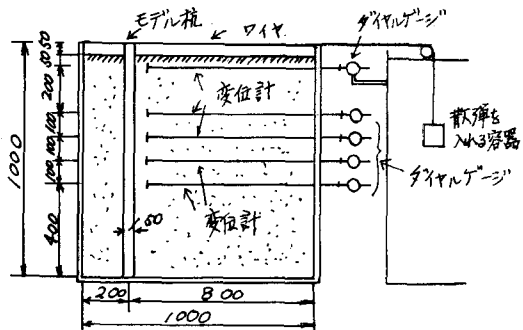


図-1 実験土層の概略図 (単位mm)

ル、ゲージ フラクター -2.11 のペーパーゲージである。杭周辺にうめた(図-1 参照)変位計は銅製の外管(内径 2.5mm)とスチール棒(外径 2mm)の内管から成り立ち、外管は砂箱の壁を通して、開示していないが別的位置に固定されている。内管はなめらかに動くようにしてあり、外管より少し長い。内径の一方に 1cm 角のプロテクタ板、他方はダイヤルゲージの先端がつながっている。この変位計は水平方向の動きを測るために 3 枚の層の底からまず 40cm、下から 20cm ごとに設置する。またこの変位計は杭中心から 1.0 倍(5cm), 1.5 倍(7.5cm), 2.0 倍(10cm), 2.5 倍(12.5cm), 3 倍(15cm)の 5 種類の位置にあらかじめ砂を入れる前に決めておき、それが終ってから、砂をじょじょに入れて層を完成する。載荷方法は 2K8f ごとに散弾の塊を容器に入れて載荷する。そして 2K8f ごとに增加して最大荷重 30K8f までかけ、それから 2K8f ごとに減らして荷重をゼロにする。上記の荷重時に杭体のひずみを静ひずみ計、下から 5 つの変位計のダイヤルゲージの変化を読みとった。

3. 実験結果と考察

図-2 はモデル杭の曲げひずみの分布を示しており、杭中心から 5cm の場合の様子を示す。荷重が比較的小さい時には最大曲げひずみの値が最大荷重時のそれと比較すると、荷重が 5 倍で、ひずみの大きさは約 8 倍くらい変化している。曲げひず

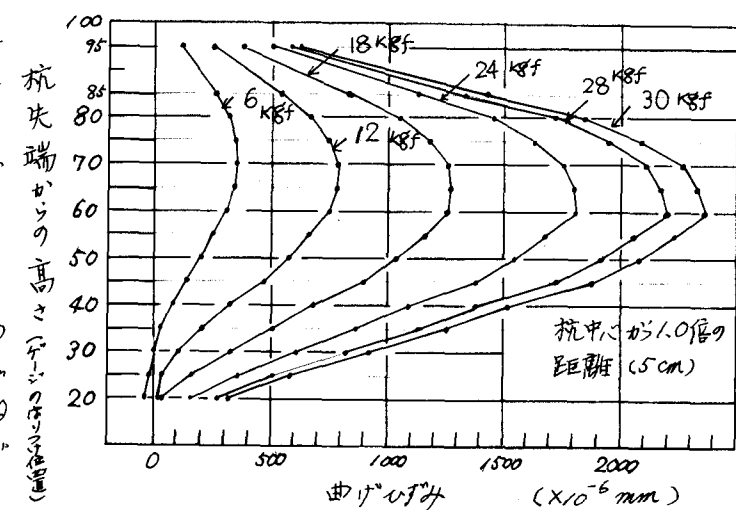


図-2 杭の曲げひずみの分布

めの最大値の深さは荷重が大きくなるにつれて下へ下になる傾向がある。図示されていないが降荷時の同様なグラフでは最大値が深さの曲げひびきは荷重の大きさにかかわらず重なり合つようになる。

図-3は水平荷重の載荷時と降荷時の最大水平変位の変化の様子を示す。砂層の表面近くの砂の変位は荷重の動きとかなり密接な関係がありようになりうる。

図-4は杭中心からの距離が大きくなるにつれて最大水平変位(表面近傍)が急激に小さくなる様子を示す。

図-5は最大水平変位の深さ方向の分布を示す。降荷時に砂の粒を動かす力がないようにならう。

4. あとがき
全体の実験の様子の予測をするために行った実験であるためにはいじり、3と不備があるけれどもレーベル見通

(がえり)した。今後の3D的な点を配慮してよりよい実験結果がえられるようにしたいと思っていました。まだ実験を行った青藤、大日向両君に感謝いたします。

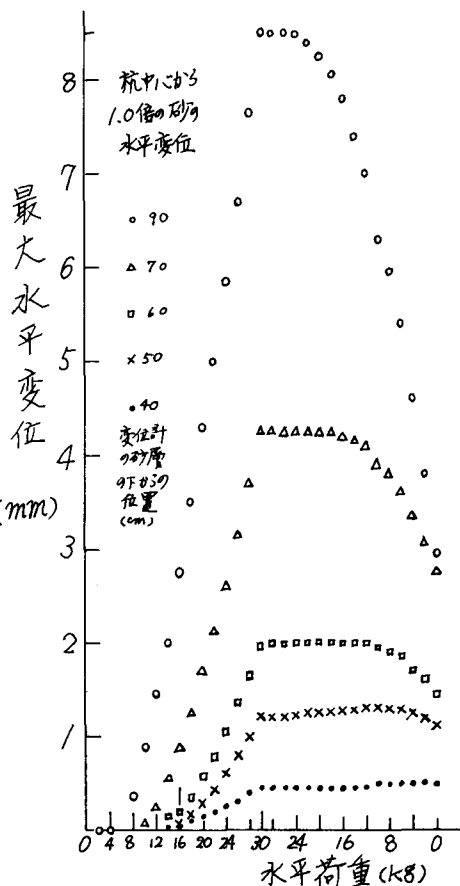


図-3 水平荷重と最大水平変位との関係

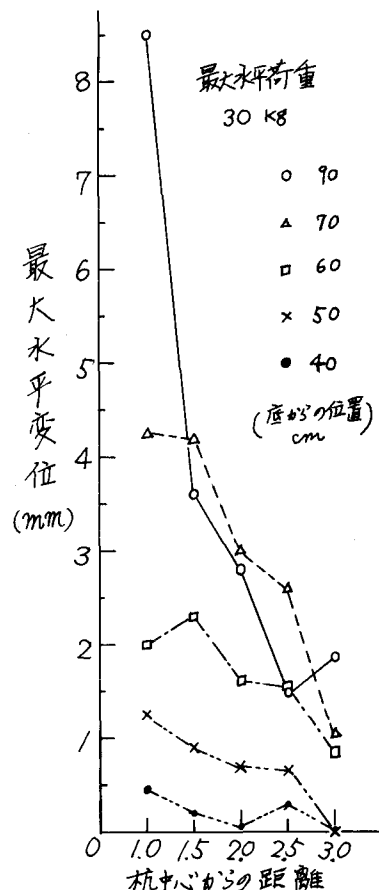


図-4 水平距離と最大水平変位との関係

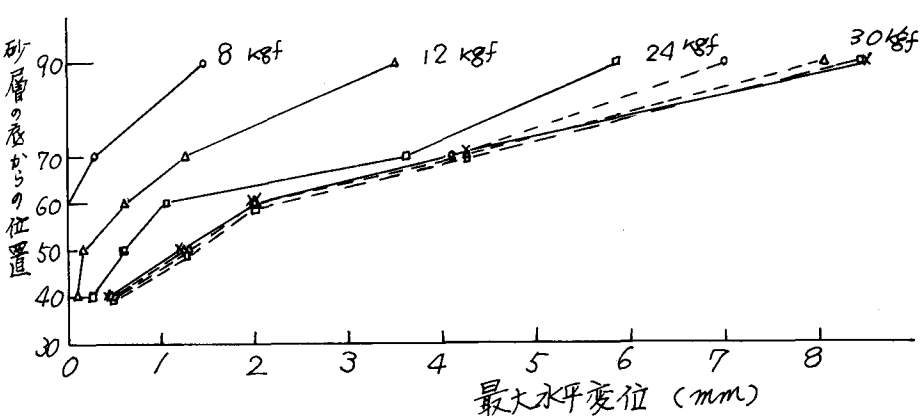


図-5 砂層の深さ方向の最大水平変位分布

参考文献 Cooke, R. W. & Price, G. (1973). Strains and displacements around friction piles 8th ICS ME, 2, No. 1.